

# Couplage FEM/BEM-Symétrique en interaction fluide-structure

Formulation BEM symétrique – Matrice de raideur de frontière

Abdelghani SEGHIR



*Département de Génie Civil  
Université de Béjaia*

# Plan

- Introduction
- Formulation en BEM symétrique - Matrice raideur de frontière
  - Energie potentielle de Frontière
  - Symétrie de la formulation
  - Discrétisation
  - Matrice de Raideur de Frontière
- Couplage Fluide - Structure
  - Couplage sans ballotement
  - Couplage avec ballotement
- Validation & Application
  - Validation
  - Application au cas des barrages
  - Application au cas des réservoirs
- Conclusion

## Objectif

### Objectif du travail :

Développer une formulation en éléments de frontière (BEM) symétrique qui produit :

- Une matrice symétrique définie positive
- Un système algébrique similaire à celui de la méthode des éléments finis (FEM)

Mettre en œuvre Modèle de couplage FEM / BEM pour l'interaction fluide-structure (IFS)

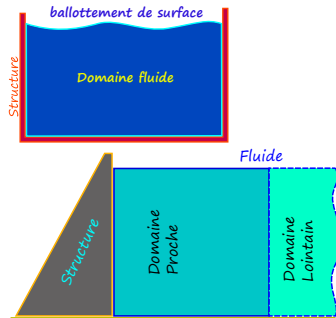
*Hypothèse* : Le fluide est supposé incompressible  
Hypothèse admissible dans les cas traités

## Objectif

### Problèmes typiques d'IFS :

Barrage poids en béton – Réservoir de stockage

- Structure : FEM
- Fluide : Domaine confiné ou ouvert
  - Réservoir : *Domaine confiné*  
Ballotement de la surface libre
  - Barrage : *Domaine Ouvert*  
Région proche + Région loin
    - Model 1 : FEM
    - Model 2 : FEM + Eléments Infini
    - Model 3 : BEM (Formulation symétrique)



## Couplage FEM/BEM et IFS

**Le couplage des deux méthodes FEM/BEM :** Prendre quelques précautions :

- Système matriciel résultant : matrices couplées symétriques ou non symétriques, creuses ou pleines, ....

- Type du couplage :

Forcer le système de l'une des méthodes à prendre la forme de celui de l'autre méthode

Couplage Iteratif,

Couplage direct avec manipulations matricielle

**La contribution :**

Une formulation BEM qui préserve la symétrie

- Basée sur la discrétisation de l'énergie potentielle de frontière

- Produit une matrice de raideur de frontière (comme FEM)

**Simplifie le couplage direct FEM/BEM**

## Energie potentielle de frontière

**Principe :** Discrétiser la fonction d'énergie potentielle de frontière  $W$  qui produit un accroissement linéaire de la pression (de 0 à  $p$ ) en tout point  $\mathbf{y}$  de  $\partial\Omega_F$  :

$$W = \frac{1}{2} \int_{\partial\Omega_F} q(\mathbf{y}) \cdot p(\mathbf{y}) \, dS_y$$

Représentation intégrale de frontière indirecte

**Pression :**

$$p(\mathbf{y}) = \int_{\partial\Omega_F} G(\mathbf{y}, \mathbf{z}) \phi(\mathbf{z}) \, dS_z$$

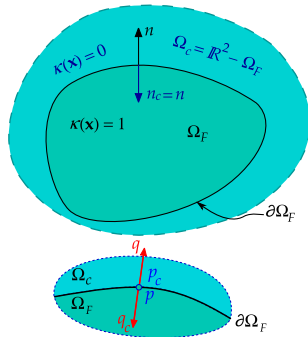
**Gradient de la pression :**

$$q(\mathbf{y}) = \frac{\partial p(\mathbf{y})}{\partial \mathbf{n}(\mathbf{y})} = \int_{\partial\Omega_F} H(\mathbf{x}, \mathbf{y}) \phi(\mathbf{x}) \, dS_x$$

**Potentiel de simple couche :**  $\phi(\mathbf{y}) = q(\mathbf{y}) - q_c(\mathbf{y})$

À la passage de la frontière : saut du gradient et continuité de la pression  $p(\mathbf{y}) - p_c(\mathbf{y}) = 0$

$G(\mathbf{x}, \mathbf{y})$  : Fonction de Green et  $H(\mathbf{x}, \mathbf{y}) = \partial G(\mathbf{x}, \mathbf{y}) / \partial \mathbf{n}(\mathbf{y})$  (gradient)



## Energie potentielle de frontière : Régularisation - Symétrie

Passage à la limite :  $\mathbf{x}, \mathbf{z} \rightarrow \partial\Omega_F$

Expression régularisée

$$W = \frac{1}{2} \int_{\partial\Omega_F} \phi(\mathbf{x}) \int_{\partial\Omega_F} H(\mathbf{x}, \mathbf{y}) [p(\mathbf{y}) - p(\mathbf{x})] dS_y dS_x$$

avec :

$$p(\mathbf{y}) - p(\mathbf{x}) = \int_{\partial\Omega_F} \phi(\mathbf{z}) [G(\mathbf{z}, \mathbf{y}) - G(\mathbf{z}, \mathbf{x})] dS_z$$

L'expression est symétrique

Une paire de points  $(\mathbf{x}, \mathbf{z}) \in \partial\Omega_F$ , une paire de sources  $\phi(\mathbf{x})$  et  $\phi(\mathbf{z})$

$$W(\phi(\mathbf{x}), \phi(\mathbf{z})) = \frac{1}{2} \int_{\partial\Omega_F} \int_{\partial\Omega_F} \mathfrak{K}(\mathbf{x}, \mathbf{z}) \phi(\mathbf{x}) \phi(\mathbf{z}) dS_x dS_z$$

Peut être vérifiée par la symétrie du noyau

$$\mathfrak{K}(\mathbf{x}, \mathbf{z}) = \int_{\partial\Omega_F} G(\mathbf{z}, \mathbf{y}) \frac{\partial G(\mathbf{x}, \mathbf{y})}{\partial \mathbf{n}(\mathbf{y})} dS_y = \int_{\partial\Omega_F} G(\mathbf{x}, \mathbf{y}) \frac{\partial G(\mathbf{z}, \mathbf{y})}{\partial \mathbf{n}(\mathbf{y})} dS_y = \mathfrak{K}(\mathbf{z}, \mathbf{x})$$

## Energie potentielle de frontière : Discretisation

### Approximation des potentiels :

$$\phi(\mathbf{x}) = \sum_{i=1}^n N_i(\mathbf{x}) \phi_i \equiv \mathbf{N}_i \phi_{e_i}$$

### Discretisation de l'énergie

$$W = \frac{1}{2} \sum_{e_i=1}^{n_e} \sum_{e_j=1}^{n_e} \int_{e_i} \int_{e_j} \mathbf{N}_i \phi_{e_i} \mathcal{J}(\mathbf{x}, \mathbf{z}, \partial\Omega_F) \mathbf{N}_j \phi_{e_j} dS_x dS_z$$

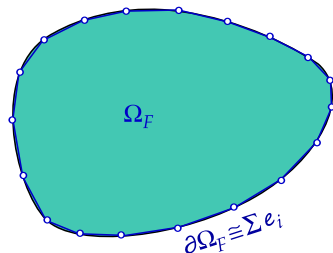
avec :

$$\mathcal{J}(\mathbf{x}, \mathbf{z}, \partial\Omega_F) \approx \sum_{e_k} \int_{e_k} H(\mathbf{x}, \mathbf{y}) (G(\mathbf{z}, \mathbf{y}) - G(\mathbf{z}, \mathbf{x})) dS_y$$

### Forme matricielle

Elémentaire :  $W_e = \boldsymbol{\phi}_j^T \mathbf{A}_{ij}^{(e)} \boldsymbol{\phi}_i$

Assemblée :  $W = \frac{1}{2} \boldsymbol{\Phi}^T \mathbf{A} \boldsymbol{\Phi}$





## Matrice de raideur de frontière

### Elimination de $\phi$

A partir de la représentation intégrale de frontière indirecte de  $p$

$$p(\mathbf{y}) = \int_{\partial\Omega_F} G(\mathbf{y}, \mathbf{z}) \phi(\mathbf{z}) dS_z$$

$$\mathbf{P} = \mathbf{G}\boldsymbol{\phi} \quad \boldsymbol{\phi} = \mathbf{G}^{-1}\mathbf{P}$$

d'où :

$$W = \frac{1}{2} \{\mathbf{P}\}^T [\mathbf{G}^{-1}]^T [\mathbf{A}] [\mathbf{G}^{-1}] \{\mathbf{P}\}$$

$$W = \frac{1}{2} \{\mathbf{P}\}^T [\mathbf{K}_B] \{\mathbf{P}\}$$

$$\mathbf{K}_B = [\mathbf{G}^{-1}]^T [\mathbf{A}] [\mathbf{G}^{-1}]$$

*Matrice de raideur de frontière*

## Vecteur Force - Système d'équation

### Le vecteur Force

A partir de la discrétisation de la définition de l'énergie :

$$W = \frac{1}{2} \int_{\partial\Omega_F} q(\mathbf{y}) \cdot p(\mathbf{y}) \, dS_y$$

$$W = \frac{1}{2} \mathbf{P}^T \mathbf{F}_q$$

$$\mathbf{F}_q = \int_{\partial\Omega_F} \mathbf{N}^T q(\mathbf{y}) \, dS_y$$

Egalité entre les deux expressions de  $W$  (avec élimination de  $\mathbf{P}^T$ )  
donne le système d'équation linéaire

$$\mathbf{K}_B \mathbf{P} = \mathbf{F}_q$$

*Système équivalent à celui de la MEF*

## Interaction Fluide-Structure : Equation BEM du fluide

Gradients des pressions :  $q(y)$  sont causés par des accélérations de parois :  $\ddot{\mathbf{u}}(y, t)$

$$\text{CAL : } q(y) = -\rho \ddot{\mathbf{u}}(t, y) \cdot \mathbf{n}$$

avec :  $\ddot{\mathbf{u}} = \sum N_u(y) \ddot{\mathbf{U}}(t)$   
 $N_u(y)$  : fonction de forme

Le système algébrique devient :

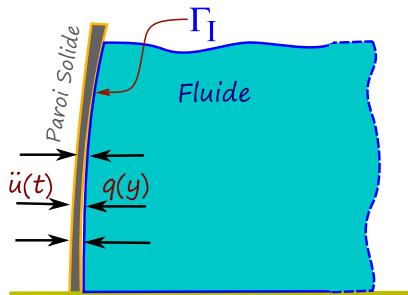
$$\mathbf{K}_F \mathbf{P} = -\rho \mathbf{Q} \ddot{\mathbf{U}}$$

$$\mathbf{Q} = \int_{\Gamma_I} \mathbf{N}^T N_u \mathbf{n} \, d\Gamma$$

d'où

$$\mathbf{P} = -\rho \mathbf{K}_F^{-1} \mathbf{Q} \ddot{\mathbf{U}}$$

**Q** Matrice d'IFS liant  $\partial p / \partial \mathbf{n}$  à  $\ddot{\mathbf{u}}(t)$



## Equation MEF de la structure

### Modèle MEF de la structure

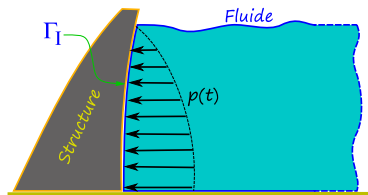
$$\mathbf{M}_S \ddot{\mathbf{U}}_T + \mathbf{C}_S \dot{\mathbf{U}} + \mathbf{K}_S \mathbf{U} = \mathbf{F}_p$$

avec

$$\mathbf{F}_p = \int_{\Gamma_I} \mathbf{N}_u^T \mathbf{n} p(t) d\Gamma$$

$$\mathbf{F}_p = \mathbf{Q}^T \mathbf{P}$$

Force des pressions hydrodynamiques



### Accélérations sismiques $\ddot{x}_g(t)$

$$\mathbf{M}_A \ddot{\mathbf{U}} + \mathbf{C}_S \dot{\mathbf{U}} + \mathbf{K}_S \mathbf{U} = -\mathbf{M}_A \mathbf{I} \ddot{x}_g(t)$$

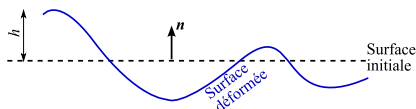
$$\mathbf{M}_A = \mathbf{M}_S + \rho \mathbf{Q}^T \mathbf{K}_F^{-1} \mathbf{Q}$$

$\mathbf{M}_A$  Matrice masse ajoutée du système couplé

## Condition d'ondes de surface linéarisée

A la surface libre les gradients des pressions :  $q(y)$  sont reliés aux secondes dérivées des pressions :  $\ddot{\mathbf{p}}$

$$q(y) = \frac{\partial p}{\partial \mathbf{n}} = -\frac{1}{g} \frac{\partial^2 p}{\partial t^2}$$



Après discrétisation donne une matrice Masse associée aux œuds de la surface libre

$$\mathbf{M}_F = - \int_{surface} \mathbf{N}^T \frac{1}{g} \mathbf{N} \, dS$$

Equation de mouvement du fluide devient

$$\mathbf{M}_F \ddot{\mathbf{P}} + \mathbf{K}_F \mathbf{P} + \mathbf{Q} \ddot{\mathbf{U}} = \mathbf{0}$$

## Système couplé

Le système couplé :

$$\begin{bmatrix} \mathbf{M}_S & \mathbf{0} \\ \rho\mathbf{Q} & \mathbf{M}_F \end{bmatrix} \begin{Bmatrix} \ddot{\mathbf{U}} \\ \ddot{\mathbf{P}} \end{Bmatrix} + \begin{bmatrix} \mathbf{C}_S & \mathbf{0} \\ \mathbf{0} & \mathbf{0} \end{bmatrix} \begin{Bmatrix} \dot{\mathbf{U}} \\ \dot{\mathbf{P}} \end{Bmatrix} + \begin{bmatrix} \mathbf{K}_S & -\mathbf{Q}^T \\ \mathbf{0} & \mathbf{K}_F \end{bmatrix} \begin{Bmatrix} \mathbf{U} \\ \mathbf{P} \end{Bmatrix} = - \begin{bmatrix} \mathbf{M}_S \\ \rho\mathbf{Q} \end{bmatrix} \mathbf{i}\ddot{u}_g(t)$$

Système Non symétrique

Symétrisation par inversion de la matrice masse fluide

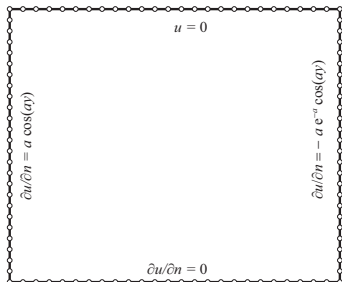
$$\begin{bmatrix} \mathbf{K}_S & \mathbf{0} \\ \mathbf{0} & \frac{1}{\rho}\mathbf{M}_F \end{bmatrix} \begin{Bmatrix} \ddot{\mathbf{U}} \\ \ddot{\mathbf{P}} \end{Bmatrix} + \begin{bmatrix} \mathbf{K}_S\mathbf{M}_S^{-1}\mathbf{C}_S & \mathbf{0} \\ \mathbf{Q}\mathbf{M}_S^{-1}\mathbf{C}_S & \mathbf{0} \end{bmatrix} \begin{Bmatrix} \dot{\mathbf{U}} \\ \dot{\mathbf{P}} \end{Bmatrix} + \begin{bmatrix} \mathbf{K}_S\mathbf{M}_S^{-1}\mathbf{K}_S^T & -\mathbf{K}_S\mathbf{M}_S^{-1}\mathbf{Q}^T \\ -\mathbf{Q}\mathbf{M}_S^{-1}\mathbf{K}_S & \mathbf{Q}\mathbf{M}_S^{-1}\mathbf{Q}^T \end{bmatrix} \begin{Bmatrix} \mathbf{U} \\ \mathbf{P} \end{Bmatrix} = - \begin{bmatrix} \mathbf{K}_S \\ \mathbf{0} \end{bmatrix} \mathbf{i}\ddot{u}_g(t)$$

## Validation

### Exemple :

Domaine carré de coté unité :  $1 \times 1$  régié par l'équation de Laplace

$$\begin{aligned}\Delta u &= 0 \\ u_{ex} &= e^{-ax} \cos(ay) \\ a &= \frac{3\pi}{4}\end{aligned}$$



### Discrétisation :

100 éléments de frontière, linéaires à 2 noeuds

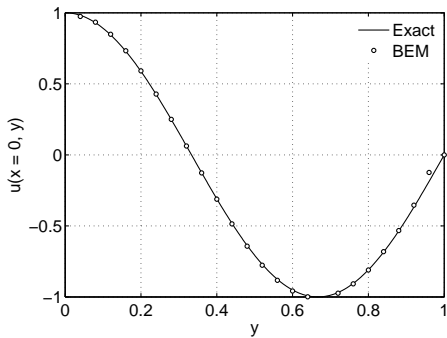
### But :

Retrouver la solution exacte sur les bords :

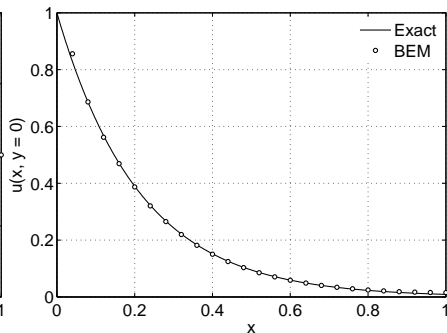
Gauche  $u(x = 0, 0 \leq y \leq 1)$

Bas  $u(0 \leq x \leq 1, y)$

## Validation



bord Gauche



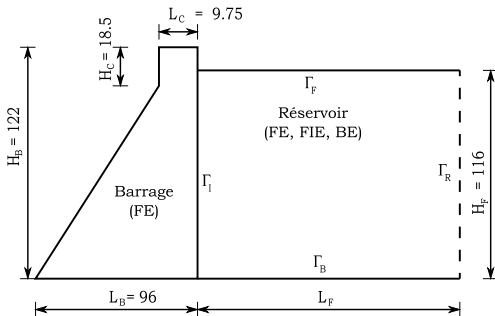
bord Bas



## Validation - Application

### Le cas d'étude :

Barrage de Pine Flate (122 m)

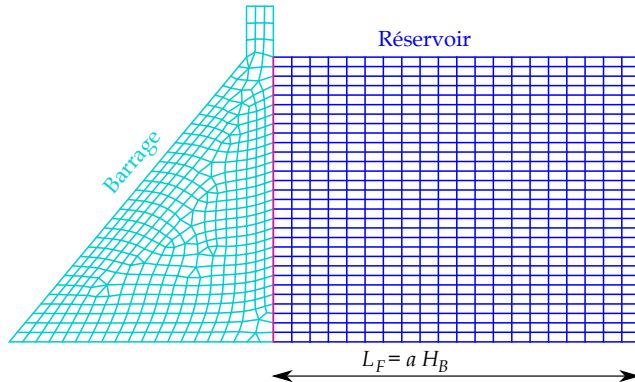


$$E = 34.47 \text{ GPa}$$
$$\nu = 0.2$$
$$\rho_b = 2480 \text{ Kg/m}^3$$

Deux positions de la troncature :  
Très Proche  $L_F = 0.25H_B$   
Assez loin  $L_F = 3H_B$

## Application - Modèles

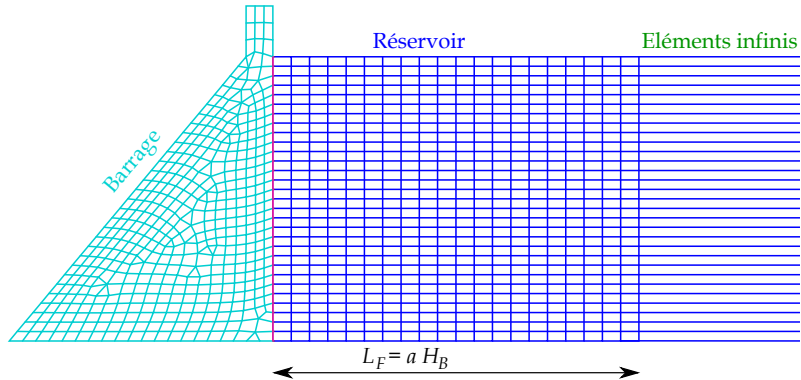
### 1 Modèle FE-FE : Réservoir modélisé par des éléments finis



Valeurs représentatives :  $a = 0.25$  (très rapprochée) et  $a = 3$  (assez éloignée)

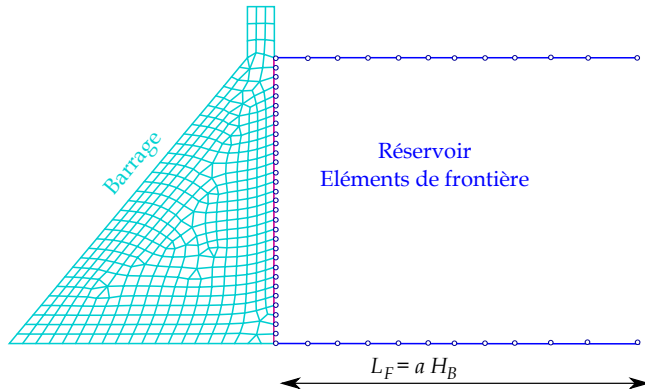
## Application - Modèles

### 2 Modèle FE-IE : Extension du maillage avec des éléments infinis



## Application - Modèles

### 3 Modèle FE-BE : Réservoir modélisé par la matrice de raideur de frontière (La présente contribution)

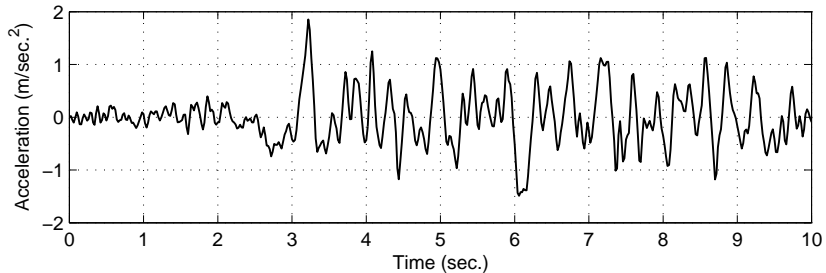


## Réponse temporelle

### Accélérogramme :

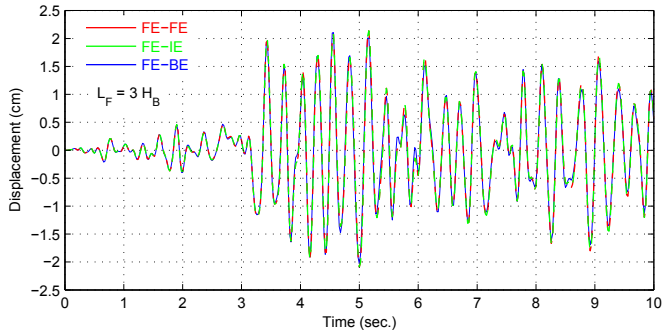
Taft Station Kern Country 21/07/1952

PGA = 0.19 g



## Réponse temporelle $L_F = 3H_B$

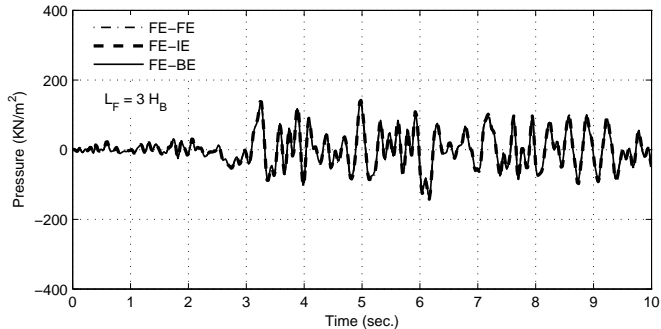
### Déplacements en crête



Avec une troncature assez éloignée de la structure ( $L_F = 3H_B$ )  
Tous les modèles d'interaction donnent la même réponse  
Déplacement maximal :  $u_{\max} = 2.2 \text{ cm}$

## Réponse temporelle $L_F = 3H_B$

### Pressions au fond



Même constat pour les pressions  
Pression maximale :  $p_{\max} = 170 \text{ KPa}$

## Réponse temporelle $L_F = 0.25H_B$

Pour :  $L_F = \frac{1}{4}H_B$

**FE-FE :**

Amplifie la réponse

$u_{\max} \geq 3 \text{ cm}$  ( $\approx 35\%$ )

$p_{\max} \geq 400 \text{ KPa}$  ( $\approx 130\%$ )

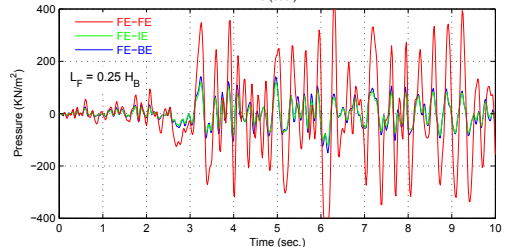
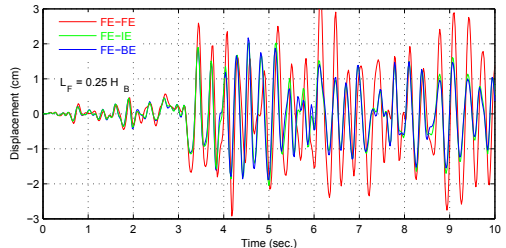
**FE-BI et FE-BE**

Résultats proches

Mêmes que ceux du cas  $L_F = 3H_B$

$u_{\max} \approx 2 \text{ cm}$  &  $p_{\max} \approx 170 \text{ KPa}$

Pressions plus sensibles à  $L_F$  que  
 les déplacements

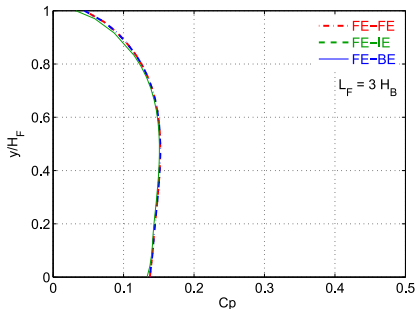




## Réponse temporelle $L_F = 0.25H_B$

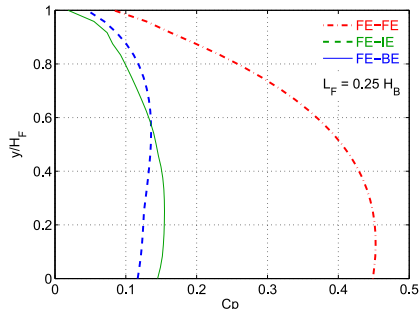
### Sensibilité :

Bien visible dans la répartition des pressions hydrodynamiques sur le parement



Troncature assez loin

$C_p$  : maximum des pressions normalisé par rapport à la pression hydrostatique au fond



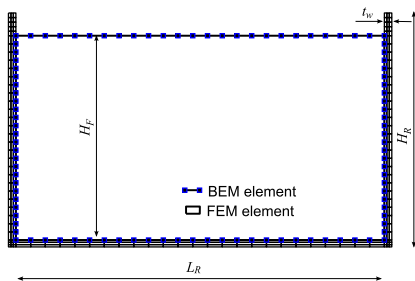
Troncature très proche

*La présente formulation BEM s'applique bien aux domaines ouverts  
 (ne nécessite pas une troncature).*

## Cas des réservoirs

### L'exemple traité :

Réservoir rectangulaire contenant de l'eau



Nbr MEF nodes : 120

Nbr BEF nodes : 100

Réservoir :

Hauteur  $H_R = 10 \text{ m}$

Longueur  $L_R = 20 \text{ m}$

Module de Young  $E = 32000 \text{ MPa}$

Coef Poisson  $\nu = 0.2$

Poids volumique  $\rho_s = 25 \text{ KN/m}^3$

Epaisseur des parois *variée*

Rigide :  $t_w = 50 \text{ cm}$

± rigide :  $t_w = 40 \text{ cm}$

Flexible :  $t_w = 30 \text{ cm}$

Eau :

Hauteur  $H_R = 9 \text{ m}$

Poids volumique

$\rho = 10000 \text{ KN/m}^3$

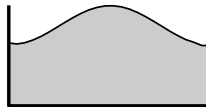
## Application au cas des réservoirs - Sloshing modes

### Sloshing modes : cas de réservoir rigide

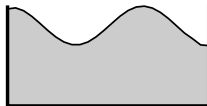
Mode 1 ( $T_1 = 5.37$  s)



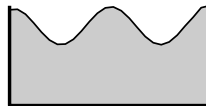
Mode 2 ( $T_2 = 3.59$  s)



Mode 3 ( $T_3 = 2.92$  s)



Mode 4 ( $T_4 = 2.52$  s)

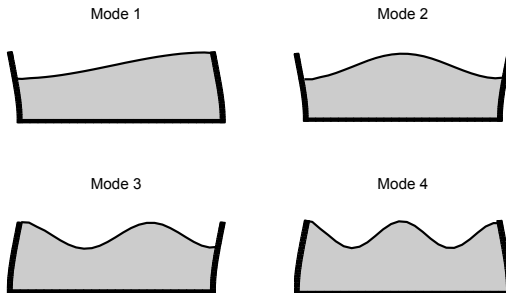


Mode	Exact	Présent	Différence(%)
1	5.370	5.370	0.00
2	3.592	3.594	0.07
3	2.923	2.921	0.05
4	2.531	2.521	0.40

$$\text{Exact : } \omega_n^2 = g \frac{n\pi}{L_F} \tanh\left(\frac{n\pi}{L_F} H_s\right)$$

## Application au cas des réservoirs - Sloshing modes

### Sloshing modes : case de réservoir flexible



Mode	$t_w = 50 \text{ cm}$	$t_w = 40 \text{ cm}$	$t_w = 30 \text{ cm}$
1	5.394	5.426	6.479
2	3.604	3.604	3.728
3	2.926	2.925	2.968
4	2.524	2.523	2.543

- Les modes de ballotement (sloshing) restent inchangés
- Les modes de déformations de la structure retrouvés dans le calcul couplé
- Flexibilité de parois : Agit uniquement sur le premier mode de ballotement (La période est un petit peu allongée)
- Les parois de 50 cm d'épaisseur sont assez rigides

## Conclusion

**L'espect le plus important du présent travail :** Formulation symétrique en élément de frontière

- produit à une masse de raideur de frontière équivalente à celle de la MEF
- Le domaine délimité par la frontière peut être considéré comme un "super élément"
- Facilite le couplage FEM/BEM
- Applicable aux problèmes d'interaction fluide-structure (IFS)
- Evite le traitement de la frontière de troncature des domaines ouverts.

*Fin*

*Merci*

*Pour votre aimable attention*